

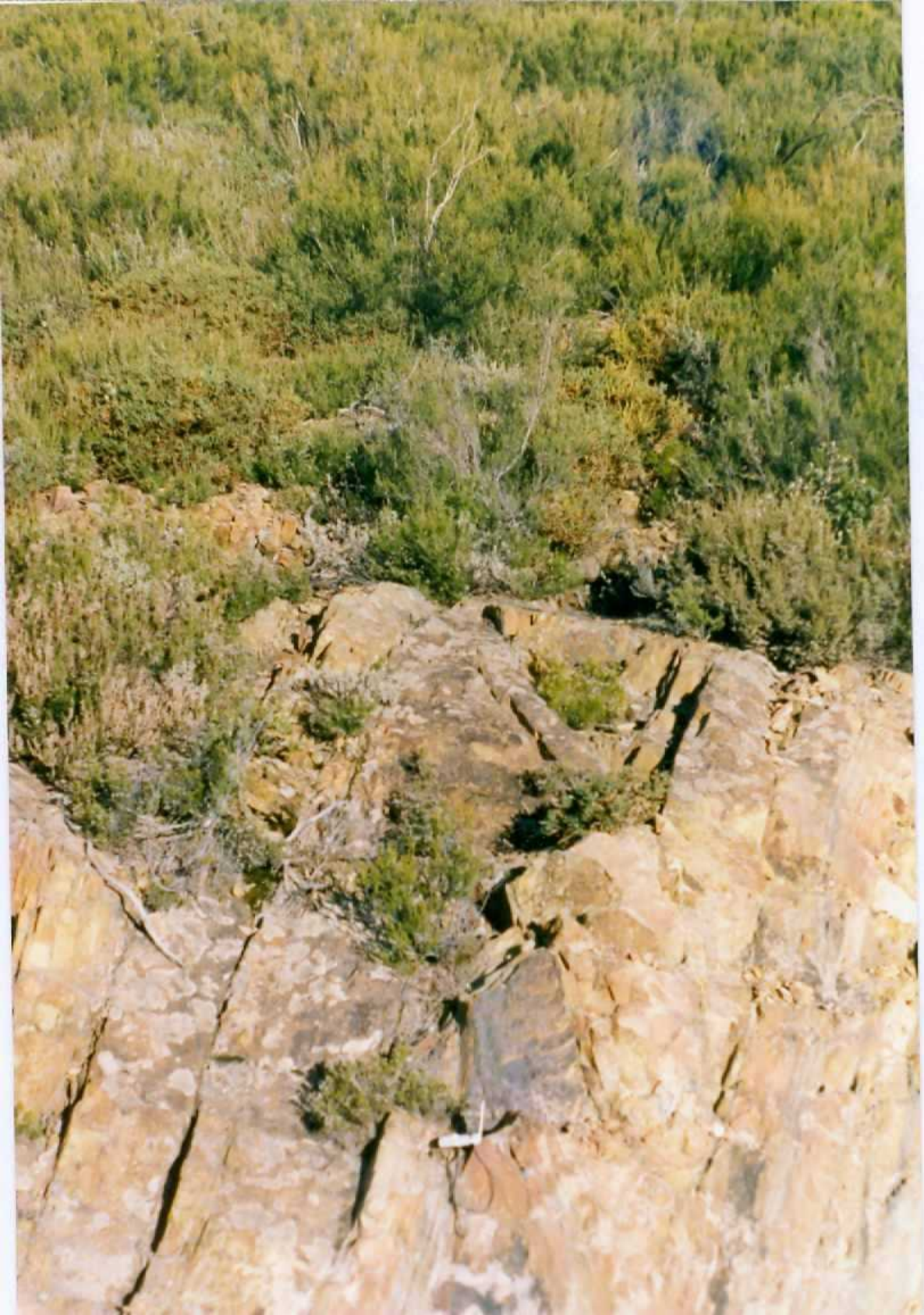
**LB 9694**

Grauvacas de la Unidad Inferior (C.E.G). Mesopliegue de eje subvertical ( 60º al N) (Rio Agueda).



LB 9695

Detalle de la esquistosidad $S_1$ en el afloramiento de la fotografía anterior. Dicha esquistosidad queda unicamente marcada en el nivel más pelítico.



**LB 9696**

Grauvacas y pizarras de la Unidad inferior (C.E.G), en las inmediaciones de Monsagro. En la parte inferior mesopliegues con eje inclinado 30º al N.



LB 9697

Conglomerados de la Unidad Superior (C.E.G) en la carretera de Monsagro a Peña de Francia. Marcan la discordancia con la Unidad Superior.



LB 9698

Detalle de los conglomerados de la fotografía anterior.




LB 9699

Carretera de Monsagro a Peña de Francia. En primer término grauvacas y pizarras de la Unidad Inferior.

1.- Conglomerados de la Unidad Superior en clara discordancia angular con la Unidad Inferior.

2.- Ordovicico



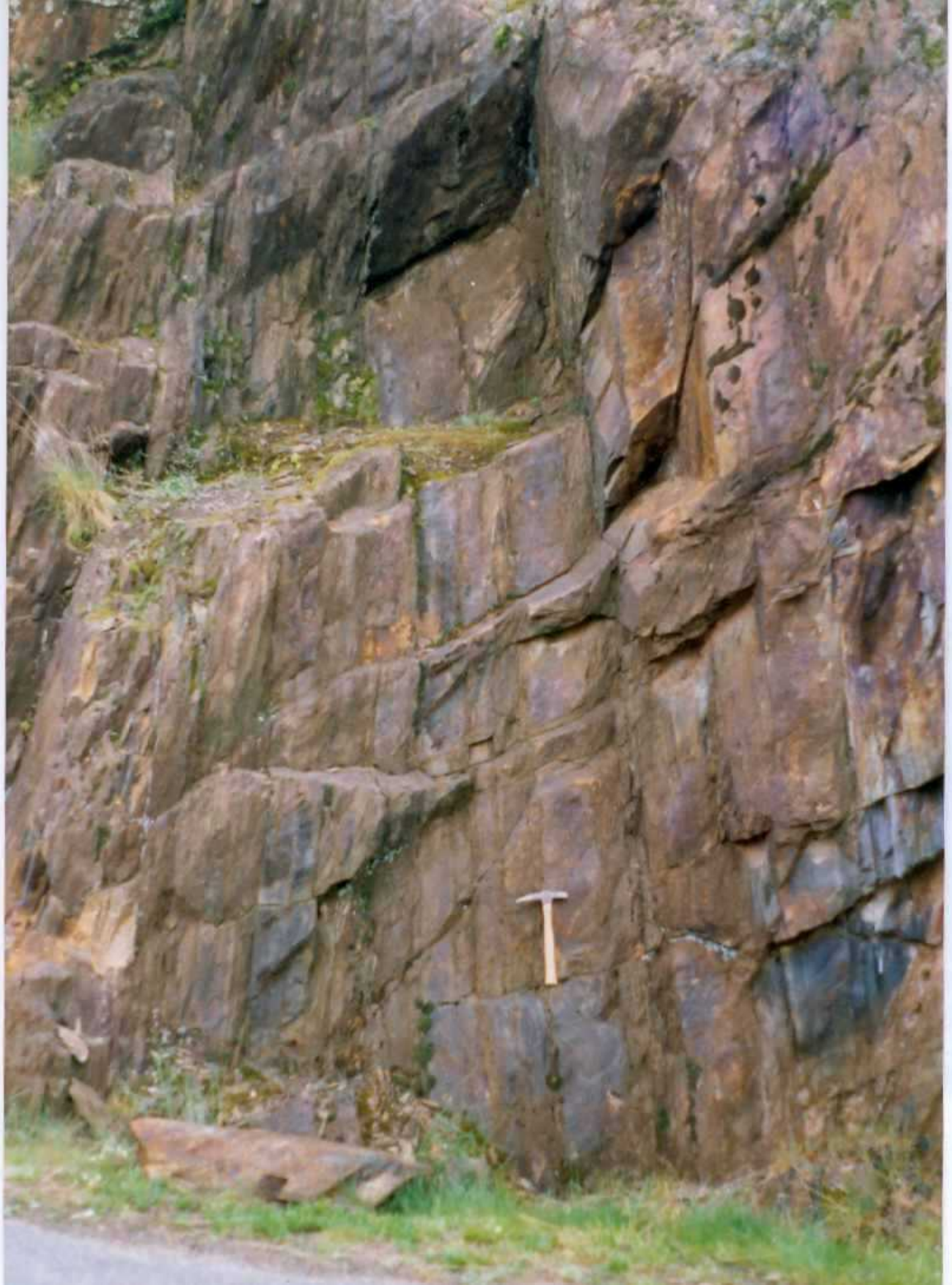
LB 9700

Aspecto de los conglomerados de la fotografía anterior en el cerro donde es visible la discordancia.



**LB 9701**

Detalle de los conglomerados de la fotografía anterior.



LB 9702

Pizarras negras de la Unidad Superior en las proximidades de Serradilla del Arroyo.



LB 9703

Otro aspecto de pizarras negras laminadas de la Unidad Superior, también en las proximidades de Serradilla del Arroyo.



LB 9704

Vista de un afloramiento de pizarras negras de la Unidad Superior (C.E.G). Al fondo, Serradilla del Arroyo



**LB 9705**

Grauvacas y pizarras de la Unidad Superior en las proximidades de la base del Ordovicico al NE de Serradilla del Arroyo



LB 9706

Detalle de la fotografía anterior. Los micropliegues corresponden a una fase tardia. (N 10-30º N) que a escala de la Hoja deforma las trazas de los pliegues de primera fase.



LB 9707

Conglomerados, microconglomerados y areniscas del Ordovicico inferior. Flanco SO del sinclinal de Guadepero. (NO SITUADA EN EL MAPA)



LB 9708

Detalle de los conglomerados de la fotografía anterior. (NO SITUADA EN EL MAPA)



LB 9709

Otro detalle del mismo afloramiento de la fotografía anterior. (NO SITUADA EN EL MAPA)



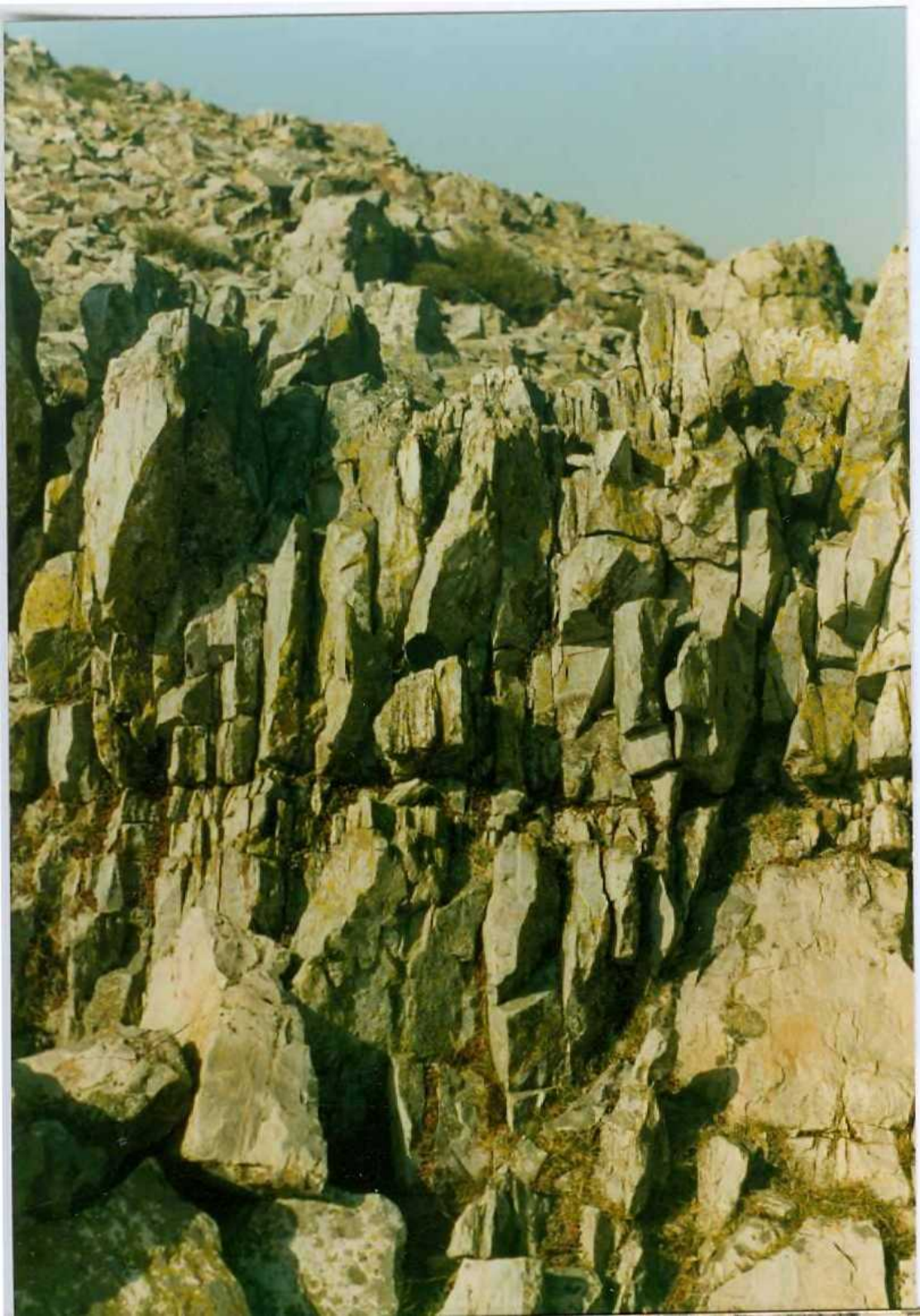
LB 9710

Aspecto de la Unidad de cuarcitas y pizarras del Ordovícico inferior al Sur del Alto del Copero, por encima de la Unidad de conglomerados.



LB 9711

Detalle del afloramiento de la fotografía anterior.



LB 9712

Vista parcial de la Unidad de Cuarcita Armoricana en el Alto del Copero.



LB 9713

Detalle de "ripples" en la Unidad de cuarcita Armoricana en las proximidades del Alto del Copero.



LB 9714

Detalle de la Unidad de cuarcita Armoricana en el área de Los Portillos.



LB 9715

Vista general de la parte superior de la serie del Ordovicico inferior vista desde la subida a La Peña de Francia. (NO SITUADA EN EL MAPA)



**LB 9716**

Vista de un sinclinal muy laxo de primera fase hercínica en las proximidades de La Peña de Francia. (NO SITUADA EN EL MAPA)



**LB 9717**

Vista parcial de la Unidad de Cuarcita Armoricana en el flanco Norte del sinclinorio. (Seto del Castillo).



LB 9718

Detalle de la fotografía anterior.



LB 9719

Aspecto de las areniscas y fangos de la unidad Ciudad Rodrigo, en las proximidades de dicha localidad. (NO SITUADA EN EL MAPA)



LB 9720

Niveles de cantos intercalados en las arcosas blancas.



LB 9721

Aspecto de otro afloramiento de conglomerados en la unidad de arcosas, el Norte de Tenebrón.



LB 9722

Aspecto de la unidad de arcosas blancas, a la altura del PK 88 de la carretera de C. Rodrigo a Morasverdes.



LB 9723

Aspecto de un coluvión reciente sobre la unidad de arcosas blancas. Obsérvese que las arcosas incluyen cantos procedentes del relieve cuarcítico que ha dado lugar al depósito coluvionar.



LB 9724

Detalle de la fotografía anterior.



LB 9725

Aspecto de la superficie y depósito de los abanicos rojos neógenos, al este de Serradilla del Arroyo.



LB 9726

Vista general de la cuenca terciaria vista desde Peñas blancas, al E de la Hoja.



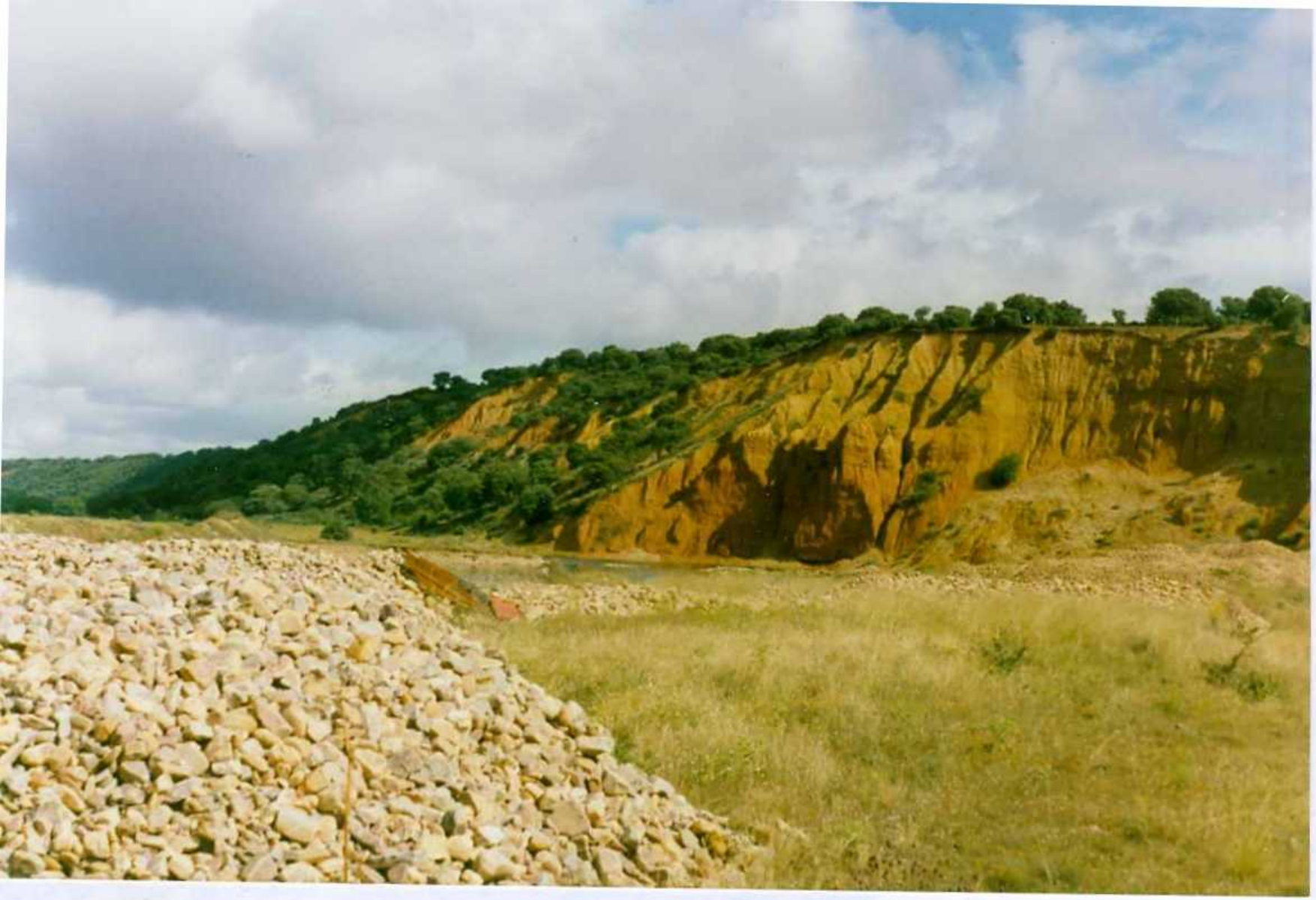
**LB 9727**

Fangos y conglomerados (15) en Morasverdes.



LB 9728

Vista parcial, al fondo de la unidad de conglomerados (16) sobre arenas blancas (12), al NO de Aldehuela de Yeltes. En primer termino una de las terrazas del río Yeltes.



LB 9729

Unidades de conglomerados sobre fangos y conglomerados rojizos (15) en un escarpe del río Yeltes (16) en el límite de la presente Hoja con la situada al Norte.




LB 9730

Terraza (20) de la rivera de Gavilanes



LB 9731

Aspecto del depósito de la terraza de la fotografia anterior. Puede observarse que los cantos esten poco elaborados y son heredados, en su mayor parte, de los abanicos miocenos.